Д. т. н. **Ю. Р. Кривобородов**¹, д. т. н. **С. В. Самченко**², д. т. н. **Т. В. Кузнецова**¹(⋈)

- ¹ ФГБОУ ВО «Российский химико-технологический университет имени Д. И. Менделеева», Москва, Россия
- ² ФГБОУ ВО НИУ «Московский государственный строительный университет», Москва, Россия

УДК 666.974.2:666.762.1].017:620.186

СТРУКТУРНЫЕ ИЗМЕНЕНИЯ В ОГНЕУПОРНЫХ БЕТОНАХ НА ОСНОВЕ АЛЮМИНАТОВ КАЛЬЦИЯ

Рассмотрено влияние добавок органических и неорганических веществ к алюминатам кальция на процессы гидратации и формирование структуры цементного камня при нормальных и повышенных температурах. Приведены результаты исследований фазовых превращений затвердевших образцов алюминатов кальция при их нагревании в интервале 20–900 °С. Описаны механизм структурных изменений и причины снижения прочности затвердевшего цементного камня при воздействии высоких температур.

Ключевые слова: алюминаты кальция, твердение, огнеупорный бетон, модифицирующие добавки.

ВВЕДЕНИЕ

■еформованные огнеупоры широко применяпри строительстве тепловых агрегатов на предприятиях разных отраслей промышленности [1]. Их применение позволяет решать задачи комплексной механизации производства работ по возведению сложных конфигураций тепловых установок, ускоряя сроки их строительства в сравнении со штучными огнеупорами. Для приготовления жаростойких бетонов используют различные вяжущие материалы, специальные добавки, улучшающие огнеупорные свойства, и заполнители, стойкие к воздействию высоких температур [2, 3]. Особый интерес представляют вяжущие материалы на основе алюминатов кальция. Алюминатные цементы обладают высокими скоростью набора прочности и огнеупорностью и при введении в бетоны и растворы обеспечивают им быстрое твердение, стойкость в агрессивных средах и высокую огнеупорность [3-7]. Алюминатные цементы получают как полным расплавлением сырьевой смеси с последующей ее кристаллизацией, так и методом спекания [3, 8-10]. В настоящее время к техногенным промышленным отходам, содержащим оксид алюминия, проявляется повышенный интерес, поскольку их использование позволяет получать алюминатные цементы [11-15].

Однако использование огнеупорных бетонов сопряжено с определенными трудностями. Футеровка тепловых агрегатов подвержена со-

⊠ Т. В. Кузнецова E-mail: tkouzn@mail.ru вместному воздействию высоких температур, тепловых ударов, агрессивных сред, истиранию и химическому взаимодействию футеровочного материала с реакционной средой, в которой происходит синтез основного продукта. Влажный бетон под воздействием высокой температуры изменяет свои физико-механические свойства. В различных диапазонах температур в бетоне протекают разные физико-химические процессы, значительно влияющие на тепло- и массоперенос в бетоне, его прочностные характеристики. Знание этих процессов позволяет разработать режимы сушки и первого нагрева бетона, повысить его долговечность и сократить сроки ввода тепловых агрегатов в эксплуатацию. Изучению режимов сушки и первого нагрева, выявлению причин снижения прочности бетона и его разрушения посвящены работы К. Д. Некрасова с учениками и многих других исследователей [16]. Улучшение технических свойств существующих огнеупорных бетонов по-прежнему является актуальной задачей в связи с применением различных добавок, влияющих на гидратацию и твердение алюминатных цементов [17-19].

Цель настоящей работы — изучение возможности совершенствования свойств высокоглиноземистого цемента и бетона на его основе путем использования химических и пластифицирующих материалов при их производстве.

МАТЕРИАЛЫ И МЕТОДЫ ИССЛЕДОВАНИЯ

Для исследования были использованы моноалюминат кальция ($CaAl_2O_4$) и диалюминат кальция ($CaAl_4O_7$), поскольку высокие технические свойства алюминатных цементов обеспечиваются

этими минералами, а их основной фазой является Al₂O₃ [20]. Состав технических алюминатов кальция приведен в табл. 1. В качестве химических и пластифицирующих материалов использовали поверхностно-активные вещества: суперпластификатор С-3 и сульфосалициловую кислоту (ССК). Побавки вводили с водой затворения в количестве 1,3 и 1,8 % соответственно от массы цемента. Суперпластификатор С-3 — добавка в бетон, изготавливается путем многоступенчатого синтеза соединений целлюлозы. Суперпластификатор содержит сульфированные поликонденсаты (до 82-84 %) и натриевый сульфат (8-10 %). Использование С-3 позволяет достичь заданной степени удобоукладываемости цементного теста при более низком В/Ц. Соответственно, при нагревании цементного камня можно ожидать снижения степени его деструкции. ССК представляет собой белый кристаллический порошок или бесцветные кристаллы без запаха, легко растворима в воде и этиловом спирте, нерастворима в бензоле и хлороформе, светочувствительна. Эмпирическая формула C₇H₆O₆S·2H₂O, в основе структуры лежит бензольное кольцо [22]. ССК может изменить рН среды гидратации и, соответственно, характер деструктивных процессов.

Из технических алюминатов кальция, а также алюминатов кальция с добавками готовили цементное тесто с В/Ц, равным его нормальной густоте, и изготовляли образцы, которые в течение 1 сут хранили в воздушно-влажных условиях. После извлечения из форм их помещали в воду с температурой (20±2) °С до заданного срока испытаний. После 3-сут твердения образцы термообрабатывали при 150, 400, 600 и 900 °C, а затем испытывали на предел прочности при сжатии. Процессы, протекающие в образцах, изучали с применением рентгенофазового (РФА) и дифференциально-термического (ДТА) анализов. РФА проводили на дифрактометре с Си K_{α} -излучением ($\lambda = 1,54056$ Å), идентификацию минералов — по данным картотеки JCPDS (Всемирный банк данных порошковой дифрактометрии). ДТА проводили с помощью дериватографа модели O-1500D венгерской фирмы MOM при скорости нагрева образцов до 1000 °C 10 °C/мин.

Таблица 1. **Химический состав исходных техниче- ских алюминатов**

Материал	Содержание, %						
	SiO ₂	Al_2O_3	Fe ₂ O ₃	CaO	MgO	$\Delta m_{ m npk}$	
CaAl ₂ O ₄	2,42	64,06	0,09	33,20	0,34	0,14	
CaAl ₄ O ₇	2,10	74,85	0,09	23,41	0,30	0,11	

РЕЗУЛЬТАТЫ И ИХ ОБСУЖДЕНИЕ

После твердения и термообработки образцы технических алюминатов кальция без добавки испытывали на предел прочности при сжатии (табл. 2). Испытания показали, что прочность цементного камня после термообработки при 150 °С значительно повышается. Это связано с увеличением степени гидратации цемента, что подтверждается результатами термогравиметрического анализа и РФА. Гидратированные образцы алюминатов кальция после термообработки при 150 °С имеют повышенное количество связанной гидратной воды; количество выделившейся воды показано на рис. 1. В образ-

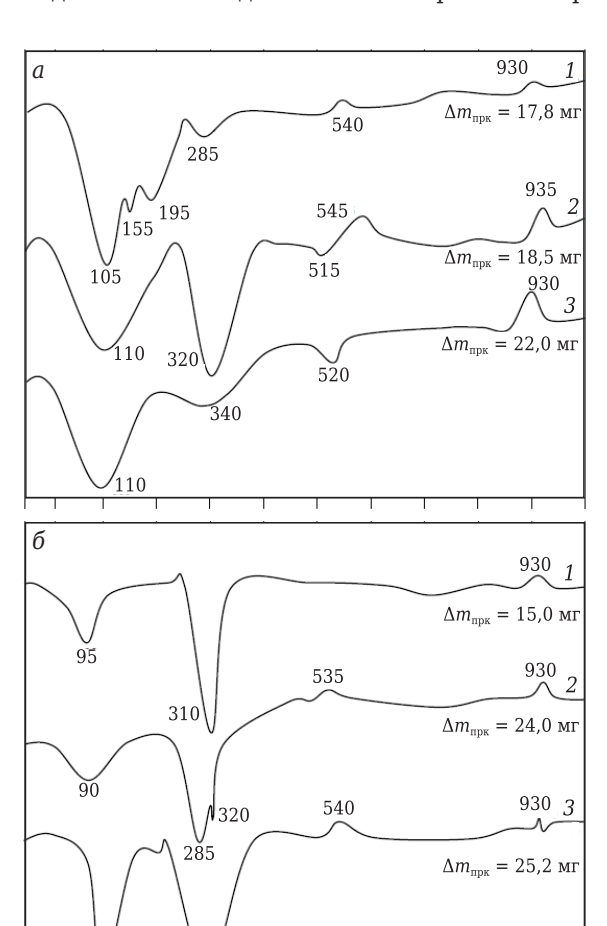


Рис. 1. ДТА-кривые гидратированных моно- (a) и диалюмината кальция (b): 1 — после гидратации в течение 3 сут; 2 — после термообработки при $150~^{\circ}\mathrm{C}$; 3 — с добавкой C-3 после термообработки при $150~^{\circ}\mathrm{C}$

Температура, °C

400 500

700

800 900 1000

600

300

200

100

Таблица 2. Результаты испытаний алюминатных образцов							
	***	Предел прочности при сжатии, МПа, образцов					
Образец	Удельная поверхность, кг/м³	после 3-сут твердения в воде	после термообработки при температуре, °C				
			150	400	600	900	
CaAl ₂ O ₄	270	80,0	100,6	85,6	71,8	61,5	
CaAl ₄ O ₇	400	77,5	152,2	130,31	123,0	96,0	

цах $CaAl_2O_4$ количество связанной воды ($\Delta m_{прк}$) увеличивается на 23,6 %, в образцах $CaAl_4O_7$ на 68 %; такое повышенное количество воды при дегидратации этих образцов обусловлено образованием дополнительного количества $Al(OH)_3$.

По данным РФА интенсивность основной дифракционной линии $CaAl_2O_4$ с d=0,296 нм у образцов после твердения в воде равна 900 имп/с. При нагревании образцов до 150 °C интенсивность линии снижается до 580 имп/с, т. е. степень гидратации цемента увеличивается в 2,8 раза, или на 70 % (рис. 2, a). У образцов $CaAl_4O_7$ интенсивность основной дифракционной линии с d=0,2599 нм снижается от 780 имп/с после твердения в воде до 490 имп/с после нагревания до 150 °C (рис. 2, δ).

По результатам РФА и ДТА механизм структурных изменений гидратированного цемента при воздействии повышенных температур можно представить следующим образом. При гидратации $CaAl_2O_4$ при 20 °C образуются гексагональные гидроалюминаты кальция $CaAl_2H_{20}O_{14}$ (ступенчатая дегидратация при 155 и 285 °C) и $Ca_2Al_2H_{16}O_{13}$ (ступенчатая гидратация в интервалах 70–100, 150–200 и 250–320 °C). При 150 °C происходят дополнительная гидратация $CaAl_2O_4$ и одновременно перекристаллизация гексагональных гидроалюминатов кальция в кубическую форму $Ca_3Al_2H_{12}O_{18}$ с выделением гидроксида алюминия $Al(OH)_3$.

Увеличивающаяся степень гидратации цемента способствует уплотнению цементного камня и уменьшению его пористости (табл. 3). При дальнейшей термообработке затвердевшего камня до 400 °C происходят разложение Са₃Al₂H₁₂O₁₈ (эндотермический эффект удаления из гидрата 4,5 молекулы воды), обезвоживание Al(OH)₃. В составе цементного камня появляются бёмит AlO(OH), Ca(OH)2 и алюминат кальция состава С₁₂А₇ как вторичный продукт взаимодействия Ca(OH)₂ и AlO(OH). В этот период из цементного камня удаляется значительное количество кристаллизационной воды. Согласно ДТА, $\Delta m_{\text{прк}}$ при 150-400 °C составляет более 50 % общего количества кристаллизационной воды. Пористость цементного камня достигает 48 %, и, соответственно, более чем

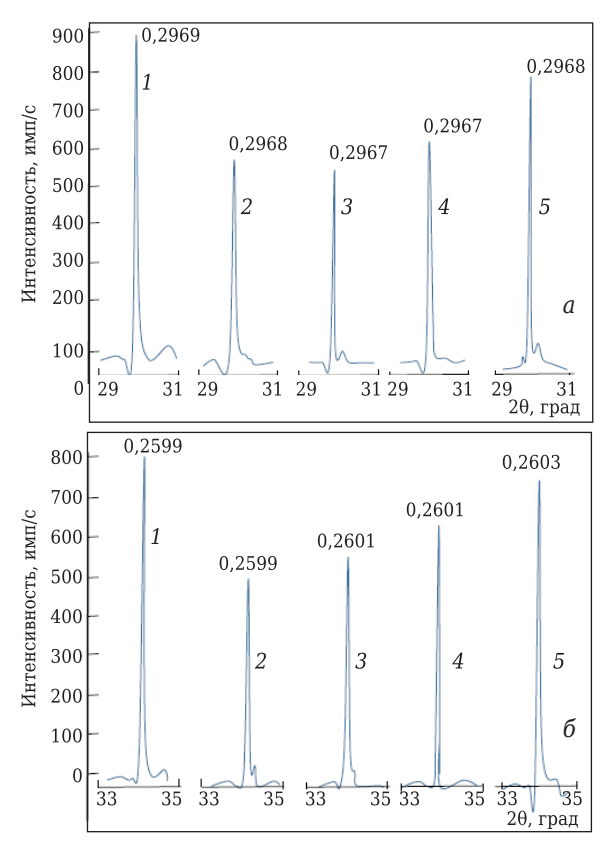


Рис. 2. Участки рентгенограмм гидратированных моно- (а) и диалюмината кальция (б): 1 — твердение в нормальных условиях в течение 3 сут; 2 — после термообработки при 150 °C; 3 — то же при 400 °C; 4 — то же при 600 °C; 5 — то же при 900 °C

на 20 % снижается его прочность. Дальнейшее повышение температуры обусловливает ускорение образования $Ca_{12}Al_{14}O_{33}$. Одновременно в результате взаимодействия этого соединения с бёмитом образуется $CaAl_2O_4$; происходит уплотнение образца вследствие развивающегося процесса спекания материала, которому способствует наличие паров воды, выделяющихся при дегидратации бёмита. При 900 °C количество $Ca_{12}Al_{14}O_{33}$ и $CaAl_2O_4$ в образцах почти в 1,4 раза больше, чем в образцах, термообработанных при 600 °C.

Аналогичные результаты были получены при исследовании образцов диалюмината кальция. Процесс изменения фазового состава цементно-

Таблица 3. Пористость образцов алюминатов кальция

		Общ	ая пористость, %, обр	азцов		
Материал	после 3-сут	после термообработки при температуре, °C				
	твердения в воде	150	400	600	900	
CaAl ₂ O ₄ :						
без добавки	28,0	24,0	48,0	51,0	46,0	
с добавкой С-3	14,6	12,3	24,2	26,0	24,1	
с добавкой ССК	13,4	11,8	23,5	24,5	23,3	
CaAl ₄ O ₇ :						
без добавки	27,5	23,0	30,0	42,0	28,0	
с добавкой С-3	13,3	11,6	15,4	20,9	14,2	
с добавкой ССК	12,6	10,8	13,9	18,9	12,8	

№ 3 2018 **Hobbie Otheynopbi** ISSN 1683-4518 **47**

го камня при 20-900 °C происходит следующим образом:

при 20 °C: CaAl₄O₇ +
$$H_2O \rightarrow CaAl_2H_{20}O_{14} + Al(OH)_3$$
, (1)

при 150 °C:
$$CaAl_2H_{20}O_{14} + Al(OH)_3 \rightarrow$$

→ $Ca_3Al_2H_{12}O_{18} + Al(OH)_3$, (2)

при
$$400$$
 °C: $Ca_3Al_2H_{12}O_{18} + Al(OH)_3 \rightarrow Ca_{12}Al_{14}O_{33} + AlO(OH)$, (3)

при 600–900 °C:
$$Ca_{12}Al_{14}O_{33} + AlO(OH) \rightarrow CaAl_2O_4 + H_2O.$$
 (4)

Сравнение реакций гидратации цементов CaAl₂O₄ и CaAl₄O₇ показывает, что первоначально продукты взаимодействия с водой не различаются по составу. В обоих случаях образуются в основном $Ca_2Al_2H_{16}O_{13}$ и $CaAl_2H_{20}O_{14}$. Повышение температуры до 150 °C сопровождается перекристаллизацией гексагонального CaAl₂H₂₀O₁₄ в кубическую форму Ca₃Al₂H₁₂O₁₈ с выделением дополнительного количества Al(OH)₃. Образование большого количества гидрата глинозема способствует уплотнению образца и увеличению контакта между образовавшимися продуктами гидратации цементного камня. Значительное количество Al(OH)₃ компенсирует отрицательное влияние перекристаллизационных процессов на структуру цементного камня, обусловливающих повышение его пористости. В процессе термообработки гидратированного CaAl₄O₇ пористость его равна 30 %, в то время как при нагревании затвердевшего CaAl₂O₄ в этих же условиях она достигает 48 %. В результате перекристаллиза-

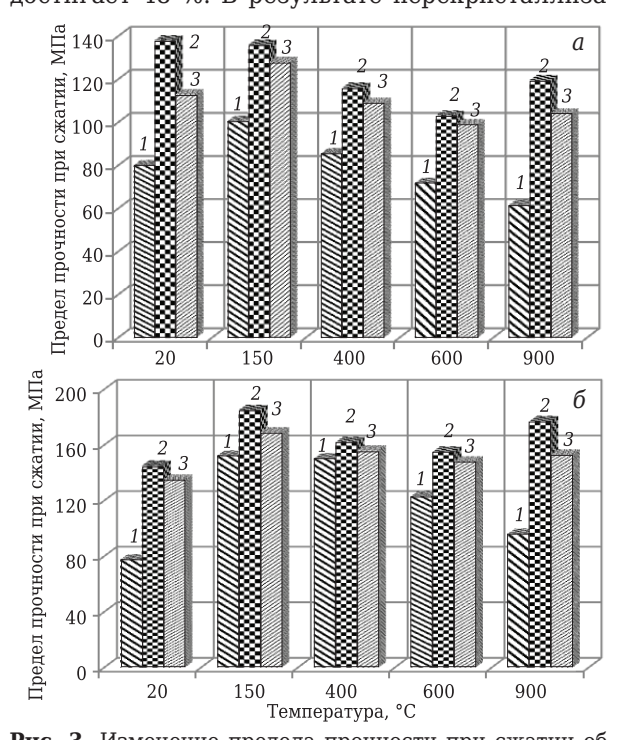


Рис. 3. Изменение предела прочности при сжатии образцов моно- (a) и диалюмината кальция (b) после твердения в воде 3 сут $(20~{}^{\circ}\mathrm{C})$ и после термообработки: 1 — без добавки; 2 — с добавкой ССК; 3 — с добавкой С-3

ционных процессов прочность цементного камня диалюмината кальция снижается, но в меньшей степени, чем у моноалюмината кальция. В целом можно отметить, что снижение прочности цементного камня как из моноалюмината кальция, так и из диалюмината кальция в процессе первого нагрева связано с дегидратацией гидроалюминатов кальция при 400-600 °C и потерей физически связанной воды. Отсюда следует вывод: чтобы уменьшить сброс прочности цементного камня, необходимо снизить количество испаряющейся воды и замедлить перекристаллизационные процессы. С этой целью при дальнейших исследованиях в цементы CaAl₂O₄ и CaAl₄O₇ вводили С-3 и ССК. Результаты показали (рис. 3), что добавки С-3 и ССК значительно увеличивают прочность цементного камня при твердении в нормальных условиях и сохраняют повышенную прочность после термообработки при 150 °C.

С применением РФА и ДТА, а также оптической микроскопии [21] установлено, что скорость гидратации цемента в присутствии добавок ускоряется, особенно значительно в присутствии ССК. Основными гидратными соединениями являются вытянутые в виде игл кристаллы, характерные для CaAl₂H₂₀O₁₄, и гексагональные пластинки Са₂Al₂H₁₆O₁₃. При сушке цементного камня до 150 °C не обнаружен переход гексагональных гидроалюминатов кальция в кубическую форму $Ca_3Al_2H_{12}O_{18}$, что характерно для цемента без добавки. Выявлено, что в присутствии добавок основная часть кристаллизационной воды выделяется при 150 °C. При дальнейшем повышении температуры влага из образцов медленно испаряется, гидраты алюминатов кальция превращаются в Са₁₂Al₁₄O₃₃ с последующим образованием при 900 °C исходного минерала CaAl₂O₄. Более медленная перекристаллизация новообразований в присутствии добавок и испарение небольшого количества влаги вызывают меньшие нарушения в структуре цементного камня. Соответственно, и прочность цементного камня при всех температурах выше, чем прочность цемента без добавки. Полученные результаты хорошо согласуются с результатами исследований пористости образцов: у образцов цемента с добавками при одних и тех же условиях термообработки она в 2,0-2,5 раза меньше, чем у образцов цемента без добавки.

ЗАКЛЮЧЕНИЕ

Снижение прочности огнеупорного бетона из алюминатов кальция при воздействии высоких температур вызвано удалением влаги и перекристаллизацией гидроалюминатов кальция. В результате перекристаллизационных процессов прочность цементного камня снижается, причем у образцов диалюмината кальция в меньшей степени, чем у образцов моноалюмината каль-

ция. Это обусловлено образованием большого количества $Al(OH)_3$ при твердении диалюмината кальция, что способствует уплотнению материала и увеличению контакта между образовавшимися продуктами гидратации цементного камня. Значительное количество $Al(OH)_3$ компенсирует отрицательное влияние перекристаллизационных процессов на структуру цементного камня, обусловливающих повышение его пористости.

Введением в алюминатные цементы добавок суперпластификатора С-3 и сульфосалициловой

Библиографический список

- 1. **Кащеев, И.** Д. Неформованные огнеупоры : справочное изд. В 2-х т. / И. Д. Кащеев, М. Г. Ладыгичев, В. Л. Гусовский. 2-е изд. ; под ред. И. Д. Кащеева. М. : Теплотехник, 2004. 400 с.
- 2. **Некрасов, К.** Д. Состояние и перспектива развития научных исследований и применения жаростойких бетонов / К. Д. Некрасов // Исследования в области жаростойкого бетона. М.: НИИЖБ, 1981. С. 14–30.
- 3. **Кузнецова, Т. В.** Глиноземистый цемент / Т. В. Кузнецова, Й. Талабер. М.: Стройиздат, 1989. 267 с.
- 4. **Alonso, M. C.** Aluminate based cement for concrete to be used as thermal energy storage in solar thermal electricity plants / M. C. Alonso, J. Vera-Agullo, L. Guerreiro [et al.] // Cement and Concrete Research. 2016. Vol. 82. P. 74–86.
- 5. *Khaliq, Wasim*. High temperature material properties of calcium aluminate cement concrete/ *Wasim Khaliq, Hammad Anis Khan* // Construction and Building Materials. 2015. Vol. 94. P. 475–487.
- 6. Wang, Yulong. Effect of dispersants on the hydrate morphologies of spinel-containing calcium aluminate cement and on the properties of refractory castables / Yulong Wang, Boquan Zhu, Xiangcheng Li, Pingan Chen // Ceram. Int. 2016. Vol. 42, N 1, part A. P. 711–720.
- 7. *Heikal, M.* Physico-mechanical characteristics and durability of calcium aluminate blended cement subject to different aggressive media / *M. Heikal, M. M. Radwan, O. K. Al-Duaij* // Construction and Building Materials. 2015. Vol. 78. P. 379–385.
- 8. *Бурлов, И. Ю.* Получение алюминатных и алюмоферритных клинкеров в печном агрегате плазменного типа / И. Ю. Бурлов, Ю. А. Бурлов, Ю. Р. Кривобородов // Цемент и его применение. 2002. № 6. С. 25–28.
- 9. *Tian, Yongpan.* Formation mechanism of calcium aluminate compounds based on high-temperature solid-state reaction / *Yongpan Tian, Xiaolin Pan, Haiyan Yu, Ganfeng Tu* // J. Alloys Compd. 2016. Vol. 670. P. 96–104.
- 10. **Zhang, Di.** Mineral transition of calcium aluminate clinker during high-temperature sintering with low-lime dosage / Di Zhang, Xiaolin Pan, Haiyan Yu, Yuchun Zhai // J. Mater. Sci. Technol. 2015. Vol. 31, N 12. P. 1244–1250.
- 11. **Samchenko, S. V.** Usage aluminiferous waste in the production of aluminate cements / S. V. Samchenko, Y. R. Krivoborodov, I. Y. Burlov // 17th International multidisciplinary scientific geoconference SGEM 2017, Bulgaria, 2017. Vol. 17, N 62. P. 465–472.

кислоты ССК можно уменьшить количество воды при изготовлении бетона. В присутствии добавок происходят более медленная перекристаллизация новообразований и испарение небольшого количества влаги, что вызывает меньшие нарушения в структуре цементного камня. Соответственно, прочность цементного камня при всех температурах выше, чем у цемента без добавки. Таким образом, введение добавок к алюминатным цементам позволит в конечном счете уменьшить потерю прочности бетона при его нагревании.

- 12. **Перепелицын, В. А.** Ферросплавные алюминотермические шлаки / В. А. Перепелицын, В. М. Рытвин, С. И. Гильверг [и др.]. Екатеринбург: Уральский рабочий, 2014. 368 с.
- 13. **Arbi, K.** Alkali-activated blends of calcium aluminate cement and slag/diatomite / K. Arbi, A. Palomo, A. Fern'andez-Jim'enez // Ceram. Int. 2013. Vol. 39, M 8. P. 9237–9245.
- 14. **Mladenovič**, **A.** Calcium aluminate rich secondary stainless steel slag as a supplementary cementitious material / A. Mladenovič, B. Mirtič, A. Meden, V. Z. Serjun // Construction and Building Materials. 2016. Vol. 116. P. 216-225.
- 15. **Ewais, E. M. M.** Utilization of aluminum sludge and aluminum slag (dross) for the manufacture of calcium aluminate cement / E. M. M. Ewais, N. M. Khalil, M. S. Amin [et al.] // Ceram. Int. 2009. Vol. 35, $Ne \ 8.$ P. 3381–3388.
- 16. **Некрасов, К. Д.** Тяжелый бетон в условиях повышенных температур / К. Д. Некрасов, В. В. Жуков, В. Φ . Гуляева. М.: Стройиздат, 1972. 128 с.
- 17. *Kouznetsova, T. V.* Influence of minor components on the phase conposition of high aluminate cements / *T. V. Kouznetsova, Y. R. Krivoborodov, A. A. Abdel Kader // 3nd* International symposium on cement and concrete. New Delhi, 1993. Vol. 1. P. VIII-31–VIII-34
- 18. **Кривобородов, Ю. Р.** Влияние минеральных добавок на гидратацию глиноземистого цемента / Ю. Р. Кривобородов, А. А. Бойко // Техника и технология силикатов. 2011. № 4. С. 12–15.
- 19. *Самченко, С. В.* Гидратация и свойства коррозионностойкого глиноземистого цемента с добавкой карбоната кальция / *С. В. Самченко* // Техника и технология силикатов, 2003. Т. 10, № 1/2. С. 12–19.
- 20. **Абзаев, Ю. А.** Анализ структурно-фазового состояния моноалюмината кальция / Ю. А. Абзаев, Ю. С. Саркисов, Т. В. Кузнецова [и др.] // Инженерно-строительный журнал. 2014. № 3. С. 56-62.
- 21. **Кузнецова, Т. В.** Микроскопия материалов цементного производства / Т. В. Кузнецова, С. В. Самченко. М. : МИКХиС, 2007. 304 с.
- 22. **ГОСТ 4478-78.** Реактивы. Кислота сульфосалициловая 2-водная. Технические условия (с изменением № 1) (Reagents. Sulphosalicylicacid, 2-aqueous. Specifications). М.: Стандартинформ, 2008. ■

Получено 05.02.18 © Ю. Р. Кривобородов, С. В. Самченко, Т. В. Кузнецова, 2018 г.